

建設省 正員○橋場克司
 北海道大学工学部 正員渡辺昇
 北海道大学工学部 正員林川俊郎

1. まえがき

従来の道路橋示方書では、吊橋の衝撃係数は考慮しないことになっているが、本研究では6本の実在橋の諸元を用いた計算結果から、道路橋吊橋の衝撃係数算定式を提案する。計算においては、吊橋上を荷重が走行するときの振動を Modal Analysis によって解析し、その動的増加率を連続支持と単純支持の2形式について求め、その結果から2つの支持状態に対する衝撃係数算定式を決定した。

2. 解析方法

動的たわみ $Y(x, t)$ は第 m 次の一般座標 $q_m(t)$ と固有関数 $\phi_m(x)$ を用いて次のように表わされる。

$$Y(x, t) = \sum_{m=1}^{\infty} q_m(t) \cdot \phi_m(x) \quad (1)$$

固有関数については、微分方程式法によって求め¹⁾ 次式で表わされる。

$$\phi_i(x) = A_i \cos\left(\frac{\mu_i x_i}{L_i}\right) + B_i \sin\left(\frac{\mu_i x_i}{L_i}\right) + C_i \cosh\left(\frac{\nu_i x_i}{L_i}\right) + D_i \sinh\left(\frac{\nu_i x_i}{L_i}\right) + \frac{g H_p}{\omega^2 H_{wi}} \quad (2)$$

$$\mu_i = \sqrt{\frac{H_{wi} L_i^2}{2EI_i}} (Z_i - 1) \quad \nu_i = \sqrt{\frac{H_{wi} L_i^2}{2EI_i}} (Z_i + 1) \quad Z_i = \sqrt{1 + \frac{4w_i EI_i \omega^2}{H_{wi}^2 g}}$$

EI : 曲げ剛性 w : 分布死荷重 H_w, H_p : ケーブルの水平張力 ω : 固有円振動数

g : 重力加速度 L : 径間長 添字 i : 第 i 径間を示す。

$A \sim D$: 未知積分定数、これは境界条件によって決定される。

一般座標 q_m は運動方程式を解いて、Duhamel 積分を含む次式で表わされる。

$$q_m(t) = \int_0^t Q_m(\tau) \cdot \sin \omega_m(t-\tau) d\tau + \alpha_m \cos \omega_m t + \beta_m \sin \omega_m t \quad (3)$$

ω_m : 第 m 次固有円振動数 V : 荷重の移動速度 α_m, β_m : 初期条件によって求められる

集中荷重の場合 外力項 $Q_m(t) = P \cdot \phi_m(V \cdot t)$

積分定数

3. 数値計算

表-1 の径間長をもつ実在橋(三径間吊橋、片側二車線、道路橋)の諸元を用いて、連続、単純両支持状態における数値計算を行った。固有関数は10次まで用い、着目点は中央径間4分の1点、荷重の移動速度は $10m/s$ ($36km/h$)、 $20m/s$ ($72km/h$)、 $30m/s$ ($108km/h$)、 $40m/s$ ($144km/h$) の4種である。振動状態の一例として、3番の Ambassador 橋の2つの支持状態における時刻歴曲線を図-1、図-2に示す。また6橋の各速度における動的増加率を中央径間長でまとめたものを図-3、図-4に示す。

これより、たわみ量は荷重の移動速度が大きくなるほど動的増加率が増加し、中央径間長が長くなるほど動的増加率が減少するのがわかる。

番号	橋名	中央径間	側径間
1	Peace River	283m	142m
2	Lions Gates	472m	187m
3	Ambassador	564m	249m
4	Delaware Memorial	655m	229m
5	因島大橋	770m	250m
6	南備賀瀬戸大橋	1100m	260m

表-1

— STATIC —— 10 m/s —— 20 m/s —— 30 m/s —— 40 m/s



図一 / 連続支持時刻歴曲線

図一 2 単純支持時刻歴曲線

4. 衝撃係数算定式

図一 3、図一 4 より、道路橋吊橋であることから時速 100km 付近を想定して、次の衝撃係数算定式を提案する。

$$\text{連続支持} \quad i = \frac{120}{300+L} \quad (4)$$

$$\text{単純支持} \quad i = \frac{220}{400+L} \quad (5)$$

従来の道路橋示方書は、径間長が 200m 以下の橋梁に適用するもので、吊橋については桁の設計には衝撃を考慮しないことになっている。しかし、図一 3、図一 4 からわかるように、径間長が短いほど動的増加率が大きくなるので、200m 以下の吊橋に現在の示方書を適用するのは危険である。また仮に、鋼橋に対する衝撃の式 $i = 20/(50+L)$ を用いたとしても、図一 5 からわかるように提案式より小さく、200m 以上の場合はも 200m 以下の場合も吊橋に鋼橋の式を適用するのは危険である。

5. あとがき

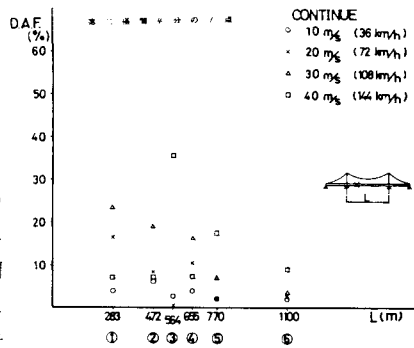
実在橋 6 橋の計算結果によって、式(4)、式(5)を提案することは大胆であるかもしれないが、現在の示方書では吊橋の衝撃に対し危険であると思われたので、あえてここに示した。

ここに提案することによって、今後吊橋の衝撃に対し一層考慮されるようになれば幸いである。

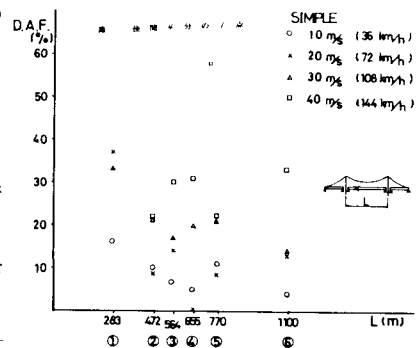
なお、本研究の計算には北海道大学大型計算機センター HITAC M-200 を使用した。

(参考文献)

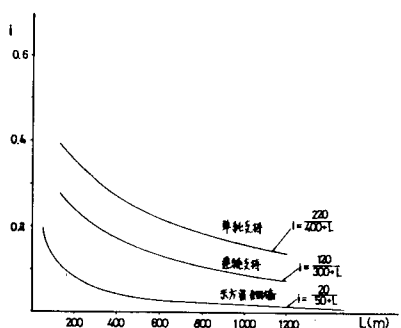
- (1) 前田幸雄、林正、前田研一：吊橋の固有振動計算法、土木学会論文報告集、第 262 号、昭 52. 6
- (2) 渡辺昇、林川俊郎：吊橋の固有振動解析に関する研究、土木学会北海道支部、第 36 号
- (3) 平井敦、伊藤学：長径間吊橋の活荷重による変形と衝撃
- (4) 小西一郎編：鋼橋 設計編
- (5) 平井敦：鋼橋
- (6) 日本鋼構造協会編：吊鋼造
- (7) Joseph Vellozzi : Vibration of suspension bridges under moving loads、Journal of the STRUCTURAL DIVISION, ASCE



図一 3 連続支持動的増加率



図一 4 単純支持動的増加率



図一 5 衝撃係数算定式